

## МАТЕМАТИЧЕСКАЯ МОДЕЛЬ НЕПРЕРЫВНОГО ОБЕСПЕЧЕНИЯ ЭЛЕКТРИЧЕСКОЙ ЭНЕРГИЕЙ КОНЕЧНЫХ ПОТРЕБИТЕЛЕЙ

**Коваленко Н.С.,**

*доктор физико-математических наук, профессор,  
Белорусский государственный университет,*

**Павлов П.А.,**

*кандидат физико-математических наук, доцент,  
Полесский государственный университет*

Одной из насущных проблем развития экономики является уменьшение потребления энергетических ресурсов. Существующая практика оперирует только фактическими данными об энергопотреблении за прошедшие периоды, что затрудняет процесс оперативного анализа и соответственно усложняет принятие управленческих решений по оптимальному использованию энергоносителей. Современные подходы в формировании новых принципов оптимального использования энергоресурсов базируются на рассмотрении и решении такого рода задач в режиме реального времени. Динамическое управление энергопотреблением – это инновационный подход к управлению нагрузкой на стороне спроса. Он включает традиционные принципы регулирования энергопотребления (энергомеджмент) на всех уровнях распределения энергоносителей, представленных в технологическом процессе, объединяет их в интегрированную структуру для одновременно оптимального управления спросом, в первую очередь для снижения пиковой нагрузки. Это достигается с помощью системы, включающей интеллектуальные устройства, распределенные энергоресурсы с высокоразвитыми средствами управления и коммуникационными возможностями, обеспечивающими динамическое управление системой в целом. Компоненты системы взаимодействуют, создавая при этом динамическую интегрированную автоматизированную структуру (Каплун В.В., Павлов, Штепа, Каплун Р.В., 2017).

Система динамического управления энергопотреблением включает четыре основных компонента: «умные» источники энергии, объединенные в единый энергетический модуль; «умные» и энергоэффективные устройства конечного потребления энергии; интеллектуальная система управления энергообеспечением (ИСУЭ); адаптивная архитектура интегрированных коммуникаций (Каплун, 2017).

В данной статье построена математическая модель реализации систем мониторинга и управления энергообеспечением, а также получены математические соотношения для вычисления точных значений общего времени выполнения множества параллельных процессов, возникающих при взаимодействии конкурирующих источников распределенной генерации электрической энергии с конечными потребителями.

**Постановка задачи.** С учетом технологических аспектов энергообеспечения на основе ресурсно-процессного подхода создать модель энергомеджмента с несколькими источниками энергии.

Как показано в (Каплун, 2017), в качестве количественного критерия эффективности энергопотребления целесообразно использовать условный динамический тариф (УДТ). УДТ – интегральный показатель приведенной текущей стоимости энергии перед распределением между потребителями, который формируется на основе реальной себестоимости энергии каждого из источников, входящих в энергетический модуль на заданном временном интервале. Формирование условного динамического тарифа требует создания интеллектуальной системы управления энергопотреблением с заданной емкостью и быстродействием, которая должна быть интегрирована в систему энергообеспечения.

Предложенный ресурсно-процессный подход (Каплун, Павлов, Штепа, Прокопеня, 2019) даст возможность усовершенствовать функционирование систем энергообеспечения, формируя математическое обеспечение оптимизации их функционирования в режиме реального времени на основе УДТ и энергетических характеристик процессов. В связи с дискретным и комбинаторным характером математических задач такого рода прогресс в их решении может быть достигнут при

условии использования принципов структурирования и конвейеризации, а также за счет применения математического аппарата, методов дискретных систем и дискретной оптимизации, теории расписаний, теории графов, алгебры матриц (Коваленко, Павлов, 2011).

**Ресурсно-процессная модель распределенной сети энергоснабжения.** Математическая модель интеллектуальной масштабируемой распределенной сети энергоснабжения (Smart Grid) включает:

- $n \geq 2$  – количество источников распределенной генерации электрической энергии;
- $p \geq 2$  – количество конечных потребителей электроэнергии;
- $s \geq 2$  – количество порций (блоков) структурированных конкурирующих потоков электроэнергии от источников распределенной генерации с учетом ценовых диапазонов;
- $T = [t_{ij}]$ ,  $i = \overline{1, n}$ ,  $j = \overline{1, s}$  – матрицу времен передачи электрической энергии  $i$ -м источником из  $j$ -го ценового диапазона;
- $C = [c_{ij}]_{n \times s}$  – матрицу стоимости единицы электроэнергии из  $j$ -го ценового диапазона при генерации  $i$ -м источником;
- $\varepsilon > 0$  – параметр, характеризующий системное время, затрачиваемое Smart Grid на организацию параллельной передачи электрической энергии от  $n$  источников  $p$  конечным потребителям.

Будем считать, что взаимодействие конкурирующих источников распределенной генерации электрической энергии с конечными потребителями подчинено следующим условиям:

1) ни один из источников не может передавать порцию электроэнергии одновременно более чем одному потребителю;

2) ни один из конечных потребителей не может принимать одновременно более одной порции электрической энергии от источников распределенной генерации;

3) передача (прием) каждой порции электроэнергии осуществляется без прерываний;

4) распределение порций электрической энергии от источников распределенной генерации конечным потребителям компьютерной системой осуществляется циклически по правилу: блок с номером  $j = kp + i$ ,  $j = \overline{1, s}$ ,  $i = \overline{1, p}$ ,  $k \geq 0$ , передается потребителю с номером  $i$ ;

5) для каждого конечного потребителя момент завершения получения порции энергии от  $l$ -го источника совпадает с моментом начала получения электрической энергии от  $(l + 1)$ -го источника распределенной генерации,  $l = \overline{1, n - 1}$ .

Условия 1–5 определяют *синхронный режим*, обеспечивающий непрерывное получение электрической энергии всеми конечными потребителями от источников распределенной генерации.

Распределенную сеть энергоснабжения будем называть *неоднородной*, если времена передачи электрической энергии конечным потребителям – разные для разных источников.

Получение математических соотношений для вычисления точных значений общего времени выполнения множества параллельных процессов, возникающих при взаимодействии конкурирующих источников распределенной генерации электрической энергии с конечными потребителями, позволит в реальном времени оптимизировать функционирование Smart Grid, планировать подключение новых объектов, оперативно перераспределять потоки электроэнергии, обрабатывать большие массивы информации.

Будем рассматривать  $n \geq 2$  *неоднородных* распределенных источников, которые передают электрическую энергию  $p \geq 2$  конечным потребителям, причем передача электроэнергии осуществляется блоками  $Q_1, Q_2, \dots, Q_s$ . Задача состоит в нахождении минимального общего времени  $T_n^2(p, n, s, \varepsilon)$  передачи источниками электрической энергии  $p$  потребителям в условиях непрерывного обеспечения энергией последних (рис. 1).

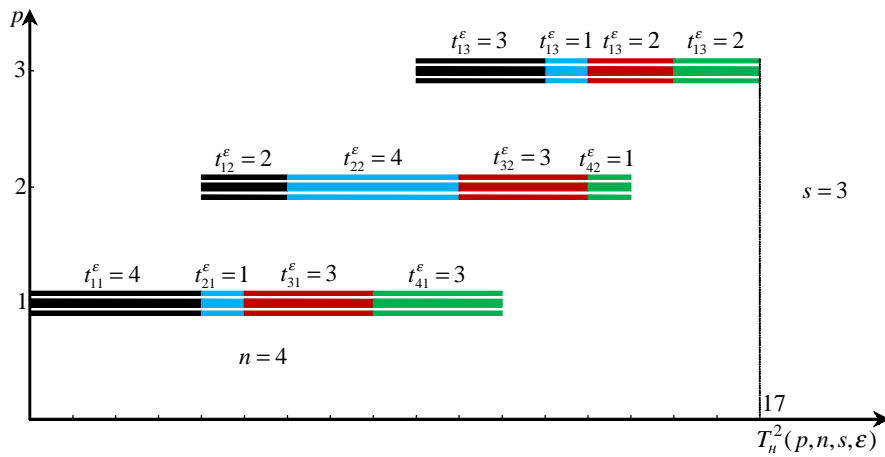


Рис. 1. Синхронный режим взаимодействия распределенных источников электрической энергии и конечных потребителей

Источник: авторская разработка.

Рассмотрим следующие случаи.

а) В случае, когда число блоков структурированных потоков электрической энергии равно числу конечных потребителей, т.е.  $s = p$ , для нахождения величины  $T_n^2(p, n, s, \varepsilon)$  получим формулу (Павлов, Штепа, 2021):

$$T_n^2(p, n, s, \varepsilon) = \sum_{j=1}^{p-1} \max_{1 \leq v \leq n} \left[ \sum_{i=1}^v t_{ij}^\varepsilon - \sum_{i=1}^{v-1} t_{i,j+1}^\varepsilon \right] + \sum_{i=1}^n t_{ip}^\varepsilon. \quad (1)$$

Здесь  $T^\varepsilon = [t_{ij}^\varepsilon]$  –  $n \times s$ -матрица времен передач блоков электрической энергии  $i$ -м источником из  $j$ -го ценового диапазона с учетом накладных расходов  $\varepsilon$ .

Величины  $\max_{1 \leq v \leq n} \left[ \sum_{i=1}^v t_{ij}^\varepsilon - \sum_{i=1}^{v-1} t_{i,j+1}^\varepsilon \right]$ ,  $j = \overline{1, p-1}$ , определяют моменты начала передачи электроэнергии источниками потребителям, начиная со второго, а  $\sum_{i=1}^n t_{ip}^\varepsilon$  – время обеспечения электрической энергией последнего  $p$ -го потребителя всеми источниками.

б) Рассмотрим случай, когда число конечных потребителей микроэлектросистемы больше числа блоков структурированных энергопотоков ( $s < p$ ). В этом случае выполним разбиение множества потребителей на  $k+1$  группу по  $s$  потребителей в каждой, т.е.  $p = ks + r$ ,  $k \geq 1$ ,  $1 \leq r < s$ . Если  $p$  не кратно  $s$ , то в последней группе будет только  $r$  потребителей. Результирующая матрица  $RM$  времен передачи электроэнергии источниками конечным потребителям будет состоять из  $k+1$  матриц  $T^\varepsilon$ , причем  $k+1$  матрица будет содержать только  $r$  первых столбцов:

$$RM = [t_{ij}^\varepsilon]_{n \times p} = \begin{bmatrix} t_{11}^\varepsilon & t_{12}^\varepsilon & \dots & t_{1s}^\varepsilon & t_{11}^\varepsilon & t_{12}^\varepsilon & \dots & t_{1s}^\varepsilon & \dots & t_{11}^\varepsilon & t_{12}^\varepsilon & \dots & t_{1r}^\varepsilon \\ t_{21}^\varepsilon & t_{22}^\varepsilon & \dots & t_{2s}^\varepsilon & t_{21}^\varepsilon & t_{22}^\varepsilon & \dots & t_{2s}^\varepsilon & \dots & t_{21}^\varepsilon & t_{22}^\varepsilon & \dots & t_{2r}^\varepsilon \\ \dots & \dots & \dots & \dots & \dots & \dots & \dots & \dots & \dots & \dots & \dots & \dots & \dots \\ t_{n1}^\varepsilon & t_{n2}^\varepsilon & \dots & t_{ns}^\varepsilon & t_{n1}^\varepsilon & t_{n2}^\varepsilon & \dots & t_{ns}^\varepsilon & \dots & t_{n1}^\varepsilon & t_{n2}^\varepsilon & \dots & t_{nr}^\varepsilon \end{bmatrix}.$$

С учетом формулы (1) минимальное общее время обеспечения  $n$  альтернативными источниками электрической энергии  $p$  конечных потребителей при условии  $s < p$  будет определяться из выражения (рис. 2):

$$T_n^2(p = ks + r, n, s, \varepsilon) = kT_n^2(s, n, s, \varepsilon) + kT_n^2(1, n, 1, \varepsilon) + T_n^2(r, n, r, \varepsilon), \quad (2)$$

$$T_n^2(s, n, s, \varepsilon) = \sum_{j=1}^{s-1} \max_{1 \leq v \leq n} \left[ \sum_{i=1}^v t_{ij}^\varepsilon - \sum_{i=1}^{v-1} t_{i,j+1}^\varepsilon \right], \quad T_n^2(1, n, 1, \varepsilon) = \max_{1 \leq v \leq n} \left[ \sum_{i=1}^v t_{is}^\varepsilon - \sum_{i=1}^{v-1} t_{i1}^\varepsilon \right], \quad (3)$$

$$T_n^2(r, n, r, \varepsilon) = \sum_{j=1}^{r-1} \max_{1 \leq v \leq n} \left[ \sum_{i=1}^v t_{ij}^\varepsilon - \sum_{i=1}^{v-1} t_{i,j+1}^\varepsilon \right] + \sum_{i=1}^n t_{ir}^\varepsilon.$$

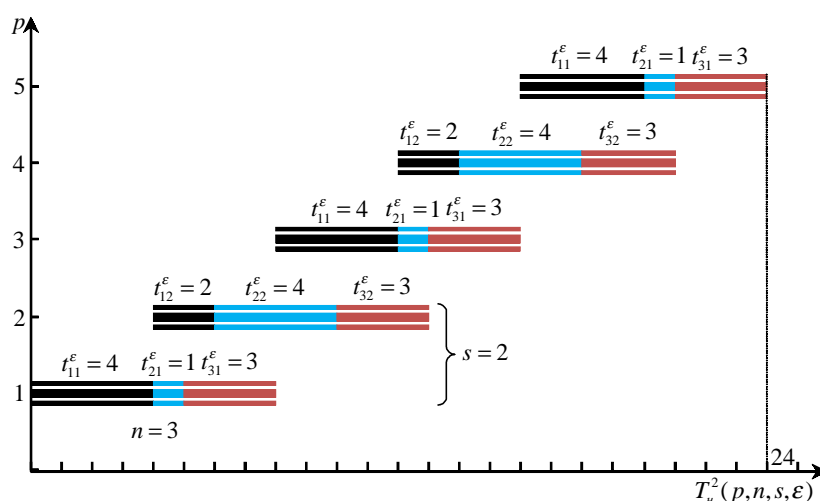


Рис. 2. Функционирование Micro Grid при  $p = 5$ ,  $n = 3$ ,  $s = 2$

Источник: авторская разработка.

в) Пусть число блоков структурированных конкурирующих потоков электроэнергии  $s \geq 2$  больше числа конечных потребителей микроэнергосистемы  $p \geq 2$ , т.е. является ограниченным ( $s > p$ ). Тогда произведем разбиение множества блоков на  $k + 1$  группу по  $p$  в каждой, за исключением последней, которая при  $s$  не кратно  $p$ , будет содержать  $r$  блоков:  $s = kp + r$ ,  $k \geq 1$ ,  $1 \leq r < p$ . Это равносильно разбиению исходной матрицы времен передачи электрической энергии  $i$ -м источником из  $j$ -го ценового диапазона с учетом системных расходов  $\varepsilon > 0$ ,  $T^\varepsilon = [t_{ij}^\varepsilon]$ ,  $i = \overline{1, n}$ ,  $j = \overline{1, s}$  на  $k + 1$  подматрицу по  $p$  столбцов в каждой, причем подматрица  $k + 1$  в случае, когда  $s$  не кратно  $p$ , будет содержать  $r$  столбцов.

Рассмотрим частный случай, когда  $s$  кратно  $p$ , т.е.  $s = kp$ ,  $k > 1$ . Учитывая, что число блоков больше числа потребителей в  $k$  раз, выполним разбиение множества блоков на  $k$  групп по  $p$  блоков в каждой. Следовательно, исходная матрица времен передачи электрической энергии  $T^\varepsilon$  разобьется на  $k$  подматриц по  $p$  столбцов в каждой. Взаимодействие конкурирующих источников распределенной генерации электрической энергии с конечными потребителями с учетом времен передачи электрической энергии для  $l$ -й группы,  $l = \overline{1, k}$ , можно изобразить в виде диаграмм Ганта, каждая из которых отображает во времени передачу  $p$  блоков различных ценовых диапазонов  $n$  конкурирующими альтернативными источниками  $p$  конечным потребителям.

На рис. 3 приведены несовмещенные диаграммы Ганта для случая  $p = 3, n = 4, s = 9$  и

$$T^\varepsilon = [t_{ij}^\varepsilon]_{4 \times 9} = \begin{bmatrix} t_{11}^\varepsilon & t_{12}^\varepsilon & \dots & t_{19}^\varepsilon \\ t_{21}^\varepsilon & t_{22}^\varepsilon & \dots & t_{29}^\varepsilon \\ t_{31}^\varepsilon & t_{32}^\varepsilon & \dots & t_{39}^\varepsilon \\ t_{41}^\varepsilon & t_{42}^\varepsilon & \dots & t_{49}^\varepsilon \end{bmatrix}.$$

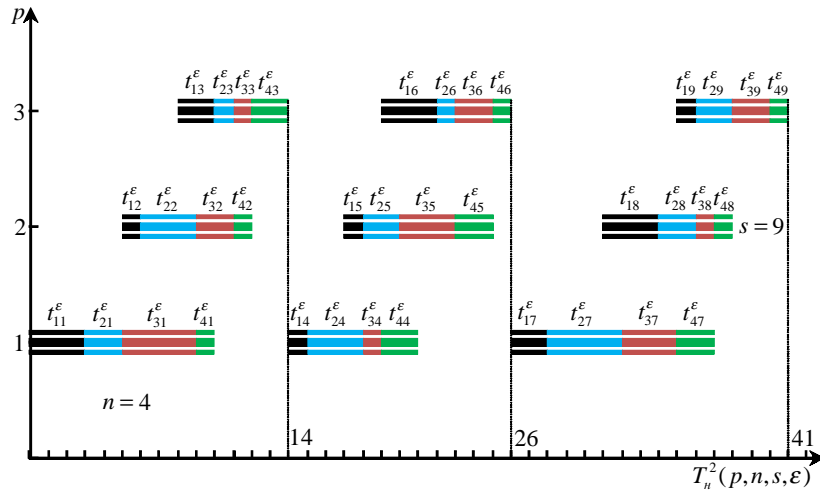


Рис. 3. Несовмещенная диаграмма Ганта

Источник: авторская разработка.

Время  $T_n^2(p = 3, n = 4, s = 9, \varepsilon)$  передачи источниками электрической энергии потребителям можно существенно сократить, если воспользоваться приемом совмещения последовательных диаграмм Ганта по оси времени справа налево (рис. 4).

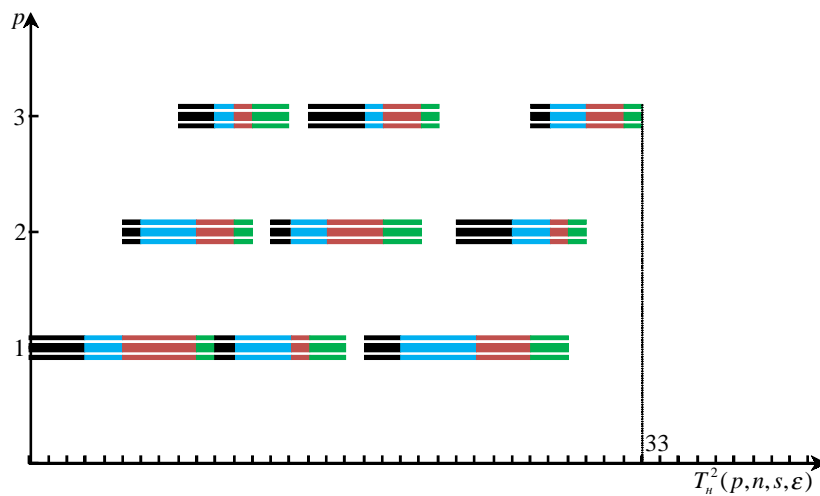


Рис. 4. Совмещенная диаграмма Ганта

Источник: авторская разработка.

В дальнейшем будем использовать следующие обозначения:

$t_{ij}^{\varepsilon,l} = t_{ij}^l + \varepsilon = t_{i,(l-1)p+j} + \varepsilon$  – времена передачи порции электрической энергии из  $j$ -го ценового диапазона  $i$ -м источником в  $l$ -й группе блоков с учетом параметра  $\varepsilon$ ,  $i = \overline{1,n}$ ,  $j = \overline{1,s}$ ,  $l = \overline{1,k}$ ;

$T_l^\varepsilon$  – общее время передачи  $l$ -й группы блоков электрической энергии  $p$  потребителям всеми  $n$  источниками  $l = \overline{1,k}$ ;

$E_{ij}^{\varepsilon,l}$  – время завершения передачи  $j$ -го блока  $i$ -м источником в  $l$ -й группе блоков,  $l = \overline{1,k}$ .

В силу формулы (1) для вычисления  $T_l^\varepsilon$  и  $E_{ij}^{\varepsilon,l}$  получим следующие соотношения:

$$T_l^\varepsilon = \sum_{j=1}^{p-1} \max_{1 \leq v \leq n} \left[ \sum_{i=1}^v t_{ij}^{\varepsilon,l} - \sum_{i=1}^{v-1} t_{i,j+1}^{\varepsilon,l} \right] + \sum_{i=1}^n t_{ip}^{\varepsilon,l}, \quad (4)$$

$$E_{ij}^{\varepsilon,l} = \sum_{w=1}^{j-1} \max_{1 \leq v \leq n} \left[ \sum_{q=1}^v t_{qw}^{\varepsilon,l} - \sum_{q=1}^{v-1} t_{q,w+1}^{\varepsilon,l} \right] + \sum_{q=1}^i t_{qj}^{\varepsilon,l}, \quad i = \overline{1,n}, \quad j = \overline{1,p}, \quad l = \overline{1,k}.$$

Кроме того, через  $B_{1j}^{\varepsilon,l}$  будем обозначать время начала передачи  $j$ -го блока в  $l$ -й группе первым источником:

$$B_{1j}^{\varepsilon,l} = \sum_{w=1}^{j-1} \max_{1 \leq v \leq n} \left[ \sum_{q=1}^v t_{qw}^{\varepsilon,l} - \sum_{q=1}^{v-1} t_{q,w+1}^{\varepsilon,l} \right], \quad j = \overline{1,p}. \quad (5)$$

Из анализа последовательных диаграмм Ганта (рис. 3, рис. 4) вытекает, что:

$$T_n^2(p,n,s,\varepsilon) = T_n^2(p,n,kp,\varepsilon) = \sum_{l=1}^k T_l^\varepsilon - \Omega, \quad (6)$$

где  $T_l^\varepsilon$  находится по формулам (4), а величина  $\Omega$  является величиной максимально допустимого суммарного совмещения соседних диаграмм по оси времени.

**Лемма** (Коваленко, Павлов, 2011). Величина  $\Omega$  максимально допустимого суммарного совмещения соседних диаграмм Ганта по оси времени определяется из соотношения:

$$\Omega \geq \sum_{l=1}^{k-1} \min\{\omega_l', \omega_l''\}, \quad (7)$$

где

$$\omega_l' = \min_{1 \leq j \leq p} \{T_l^\varepsilon - E_{ij}^{\varepsilon,l} + B_{1j}^{\varepsilon,l+1}\}, \quad \omega_l'' = \min_{1 \leq i \leq n} \left\{ \sum_{q=1}^{i-1} t_{q1}^{\varepsilon,l+1} + \sum_{q=i+1}^n t_{qp}^{\varepsilon,l} \right\}, \quad l = \overline{1,k-1}. \quad (8)$$

Здесь  $\omega_l'$  и  $\omega_l''$  представляют собой отрезки максимально допустимого совмещения по оси времени  $l$ -й и  $(l+1)$ -й диаграмм.

В формуле (7) стоит знак не строгого равенства, так как каждое значение  $\min\{\omega_l', \omega_l''\}$ ,  $l = \overline{1,k-1}$ , учитывает только величину максимально допустимого совмещения по оси времени между парами соседних диаграмм Ганта, но не всегда учитывает возможные совмещения между подряд идущими группами блоков электроэнергии, передающихся одному и тому же потребителю в двух соседних диаграммах. На рис. 3 и рис. 4 приведен пример, когда имеет место равенство, а на рис. 5 и рис. 6 – когда имеет место неравенство.

Подставляя далее значение  $T_l^\varepsilon$  из (3) в (6) и в силу леммы, получаем оценку для вычисления  $T_n^2(p, n, kp, \varepsilon)$  вида:

$$T_n^2(p, n, kp, \varepsilon) \leq \sum_{l=1}^k T_l^\varepsilon - \sum_{l=1}^{k-1} \min\{\omega_l', \omega_l''\}. \quad (9)$$

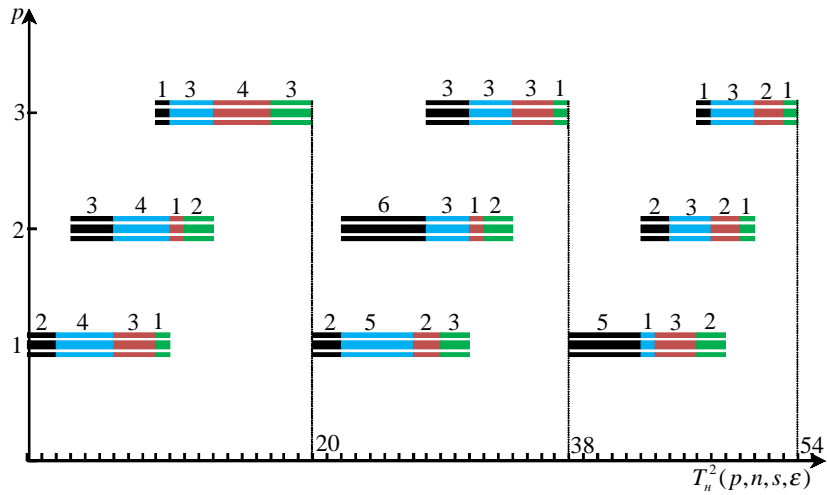


Рис. 5. Несовмещенная диаграмма Ганта

Источник: авторская разработка.

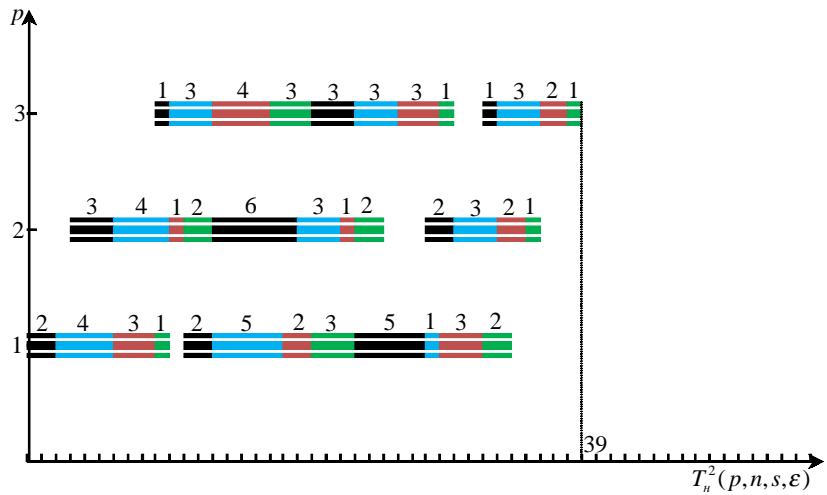


Рис. 6. Совмещенная диаграмма Ганта

Источник: авторская разработка.

Для случая, когда  $s$  не кратно  $p$ , т. е.  $s = kp + r$ ,  $k \geq 1$ ,  $1 \leq r < p$ , общее время  $T_n^2(p, n, kp + r, \varepsilon)$  передачи  $n$  источниками электрической энергии  $p$  потребителям в условиях второго синхронного режима определяется по формуле:

$$T_n^2(p, n, kp + r, \varepsilon) \leq \sum_{l=1}^k T_l^\varepsilon + T_{k+1}^\varepsilon - \sum_{l=1}^{k-1} \min\{\omega_l', \omega_l''\} - \min\{\omega_k', \omega_k''\}, \quad (10)$$

где  $T_{k+1}^\varepsilon$ ,  $\omega_k'$ ,  $\omega_k''$  находятся по формулам:

$$T_{k+1}^\varepsilon = \sum_{j=1}^{r-1} \max_{1 \leq v \leq n} \left[ \sum_{i=1}^v t_{ij}^{\varepsilon, k+1} - \sum_{i=1}^{v-1} t_{i, j+1}^{\varepsilon, k+1} \right] + \sum_{i=1}^n t_{ir}^{\varepsilon, k+1}, \quad (11)$$

$$\omega_k' = \min_{1 \leq j \leq r} \{T_k^\varepsilon - E_{nj}^{\varepsilon, k} + B_{1j}^{\varepsilon, k+1}\}, \quad \omega_k'' = \min_{1 \leq i \leq n} \left\{ \sum_{q=1}^{i-1} t_{q1}^{\varepsilon, k+1} + \sum_{q=i+1}^n t_{qp}^{\varepsilon, k} \right\}. \quad (12)$$

**Теорема** (Коваленко, Павлов, 2011). В условиях взаимодействия источников распределенной генерации электроэнергии с конечными потребителями во втором синхронном режиме, для любых параметров интеллектуальной масштабируемой неоднородной Smart Grid  $p \geq 2$ ,  $n \geq 2$ ,  $s \geq 2$ ,  $\varepsilon > 0$ , минимальное общее время  $T_n^2(p, n, s, \varepsilon)$  передачи электрической энергии определяется по формулам:

$$T_n^2(p, n, s, \varepsilon) = \sum_{j=1}^{s-1} \max_{1 \leq v \leq n} \left[ \sum_{i=1}^v t_{ij}^\varepsilon - \sum_{i=1}^{v-1} t_{i, j+1}^\varepsilon \right] + \sum_{i=1}^n t_{is}^\varepsilon \quad \text{при } s = p,$$

$$T_n^2(p, n, s, \varepsilon) = kT_n^2(s, n, s, \varepsilon) + kT_n^2(1, n, 1, \varepsilon) + T_n^2(r, n, r, \varepsilon) \quad \text{при } s < p,$$

$$T_n^2(p, n, s, \varepsilon) \leq \begin{cases} \sum_{l=1}^k T_l^\varepsilon - \sum_{l=1}^{k-1} \min\{\omega_l', \omega_l''\}, & \text{при } s = kp, \quad k > 1, \\ \sum_{l=1}^k T_l^\varepsilon + T_{k+1}^\varepsilon - \sum_{l=1}^{k-1} \min\{\omega_l', \omega_l''\} - \min\{\omega_k', \omega_k''\}, \\ \text{при } s = kp + r, \quad k \geq 1, \quad 1 \leq r < p, \end{cases}$$

где  $T_n^2(s, n, s, \varepsilon)$ ,  $T_n^2(1, n, 1, \varepsilon)$  и  $T_n^2(r, n, r, \varepsilon)$  определяются по формулам (3),  $T_l^\varepsilon$  – по формуле (4),  $\omega_l'$  и  $\omega_l''$  – по формулам (8),  $T_{k+1}^\varepsilon$  – по формуле (11),  $\omega_k'$  и  $\omega_k''$  – по формулам (12).

**Заключение.** Создание интеллектуальной системы управления энергопотреблением представляет собой довольно сложную научно-техническую проблему, решение которой связано с созданием системного и прикладного программного обеспечения, развитием алгоритмов и численных методов, математическим моделированием функционирования параллельных систем с целью анализа эффективности и оптимальности их функционирования. В настоящее время в этой области ведутся интенсивные исследования. Однако понимание ряда аспектов, связанных с параллельными системами, находится на интуитивном уровне. Это трудные в математическом отношении проблемы по расчету оптимальных характеристик как самих параллельных энергетических систем, так и характеристик оптимальной организации большого числа одновременно взаимодействующих параллельных процессов, количественная и качественная оценка различных стратегий управления параллельными процессами, включая проблемы синхронизации, проблемы создания эффективных параллельных алгоритмов и соответствующего программного обеспечения с учетом характеристик конкретных энергетических систем распределенной обработки данных и др.

#### Л и т е р а т у р а

Каплун В.В. (ред.). 2017. Структурно-параметричний синтез комбінованих систем електроживлення. Колективна монографія. Київ : КНУТД. 188 с.

Каплун В.В., Павлов П.А., Штепа В.Н., Каплун Р.В. 2017. Моделирование динамической стоимости электроэнергии в микроэнергетической системе с распределенными источниками в синхронном



режиме. *Вісник Київського національного університету технологій та дизайну*. Серія «Технічні науки». № 3 (110). С. 11–24.

**Каплун В.В., Павлов П.А., Штепа В.Н., Прокопеня О.Н.** 2019. Ресурсно-процесна модель енергоменеджмента локального об'єкта з декількома джерелами енергії. *Вестник Брестского государственного технического университета*. № 4 (117). С. 86–91.

**Коваленко Н.С., Павлов П.А.** 2011. *Математическое моделирование параллельных процессов*. Монография. Saarbrücken (Germany) : LAP LAMBERT Academic Publishing GmbH. 246 с.

**Павлов П.А. Штепа В.Н.** 2021. Модель непрерывного обеспечения электрической энергией конечных потребителей. *Инжиниринг: теория и практика*. Материалы I Международной заочной научно-практической конференции. Пинск, 26 марта 2021 г. Полесский государственный университет. В.И. Дунай (ред.). С. 31–40.

**Zaiets N., Shtepa V., Pavlov P., Elperin I., Hachkovska M.** 2019. Development of a resource-process approach to increasing the efficiency of electrical equipment for food production. *Eastern-European Journal of Enterprise Technologies*. Vol. 5. No 8 (101). P. 59–65.

*Статья поступила 14.02.2023 г.*

